



DOI: <http://dx.doi.org/10.15688/jvolsu1.2015.5.3>

УДК 519.6

ББК 22.193

МОДЕЛИРОВАНИЕ ГАЗОДИНАМИЧЕСКИХ ТЕЧЕНИЙ НА ОСНОВЕ ЛАГРАНЖЕВО-ЭЙЛЕРОВОЙ СХЕМЫ LES-ASG¹

Антон Владимирович Белоусов

Студент Института математики и информационных технологий,
Волгоградский государственный университет
anton.belousov.v@mail.ru, math@volsu.ru
просп. Университетский, 100, 400062 г. Волгоград, Российская Федерация

Сергей Сергеевич Храпов

Кандидат физико-математических наук,
доцент кафедры информационных систем и компьютерного моделирования,
Волгоградский государственный университет
xss-ip@mail.ru, infomod@volsu.ru
просп. Университетский, 100, 400062 г. Волгоград, Российская Федерация

Аннотация. Приведены формулы для численного моделирования газодинамических течений на основе лагранжево-эйлеровой схемы LES-ASG в двумерном случае. Приводится объяснение отличительной особенности численной схемы LES-ASG от схемы cSPH-TVD [1; 2]. Подробно рассматривается как лагранжев, так и эйлеров этап. Рассмотрены условия устойчивости численной схемы. Проведен анализ и сравнение с численной схемой MUSCL в одномерном случае.

Ключевые слова: численные схемы, LES, ASG, cSPH-TVD, лагранжево-эйлерова схема.

Введение

В данной работе мы подробно рассмотрим все этапы и формулы численной схемы LES-ASG, которая является модификацией численной схемы cSPH-TVD. Проведем сравнение схемы LES-ASG и схемы MUSCL для одномерного случая. В дальнейшем данная схема будет использоваться в качестве основы для создания программного комплекса, направленного на моделирования газодинамических течений.

1. Основные уравнения

Будем исходить из интегральных законов сохранения массы для однородной несжимаемой жидкости, а также законов сохранения энергии и импульса для «жидкой частицы» с «объемом» $\Sigma(t)$, деформирующейся произвольным образом в процессе движения, в двумерном случае:

$$\frac{d}{dt} \iint_{\Sigma(t)} \rho \, dx dy = 0, \quad (1)$$

$$\frac{d}{dt} \iint_{\Sigma(t)} \rho u \, dx dy = - \iint_{\Sigma(t)} \left(\frac{\partial p}{\partial x} - \rho f_x \right) \, dx dy, \quad (2)$$

$$\frac{d}{dt} \iint_{\Sigma(t)} \rho v \, dx dy = - \iint_{\Sigma(t)} \left(\frac{\partial p}{\partial y} - \rho f_y \right) \, dx dy, \quad (3)$$

$$\frac{d}{dt} \iint_{\Sigma(t)} e \, dx dy = - \iint_{\Sigma(t)} \left(\frac{\partial(up)}{\partial x} + \frac{\partial(vp)}{\partial y} - \rho u f_x - \rho v f_y \right) \, dx dy, \quad (4)$$

где ρ — плотность среды; u и v — скорость газа вдоль ординат x и y соответственно; e — полная энергия единицы объема; p — изотропное давление; $f_x = -\frac{\partial \psi}{\partial x}$ и $f_y = -\frac{\partial \psi}{\partial y}$ — удельная потенциальная внешняя сила; ψ — гравитационный потенциал. Система уравнений (1)–(4) замыкается уравнением состояния идеального газа $p = (\gamma - 1)\rho e$, где γ — показатель адиабаты, а e — удельная внутренняя энергия.

Введем характерное значение плотности ρ_0 , а также пространственную l_0 , и временной t_0 масштабы задачи. Далее будем использовать только безразмерные величины (ρ, u, v, p, e, ψ), переопределив их следующим образом

$$\rho = \frac{\rho}{\rho_0}, \quad u = \frac{ut_0}{l_0}, \quad v = \frac{vt_0}{l_0}, \quad p = \frac{pt_0^2}{\rho_0 l_0^2}, \quad e = \frac{et_0^2}{\rho_0 l_0^2},$$

$$\psi = \frac{\psi t_0^2}{l_0^2}.$$

2. Численная схема LES-ASG

Численная схема LES-ASG (лагранжево-эйлерова схема с антисимметричной сеткой) — это модифицированный cSPH-TVD подход [1; 2; 7]. Основной отличительной особенностью схемы LES-ASG от схемы cSPH-TVD является различие в расчете лагранжевого этапа. В cSPH-TVD методе на лагранжевом этапе для расчета каждой ячейки задействуются все близлежащие ячейки, как это показано на рисунке 1. Из-за этого возникают нежелательные осцилляции. А в схеме LES-ASG при расчетах не задействуются диагонально расположенные соседние ячейки, как это делается на эйлеровом этапе. Пример показан на рисунке 2.

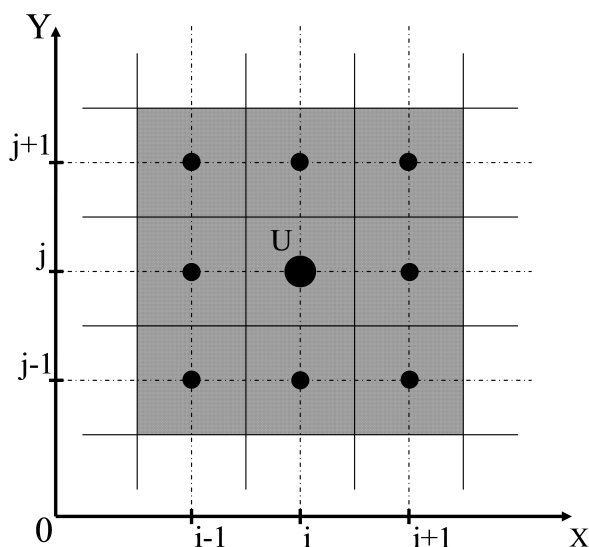


Рис. 1. Нахождение значений в ячейке на лагранжевом этапе с использованием cSPH-TVD схемы

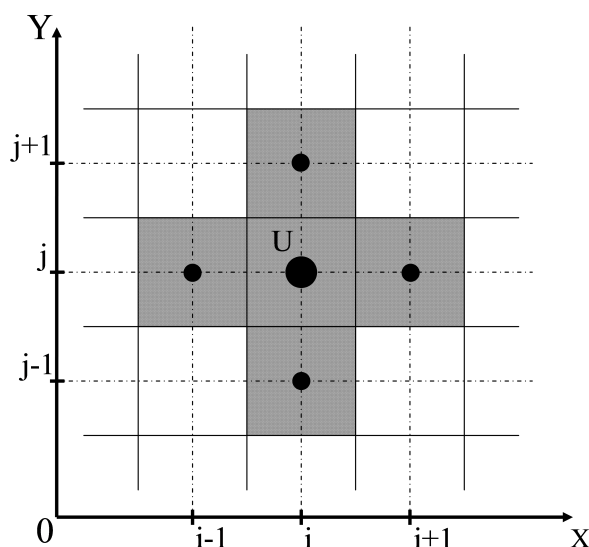


Рис. 2. Нахождение значений в ячейке на лагранжевом этапе с использованием LES-ASG схемы

Воспользуемся стандартными процедурами дискретизации сплошной среды, применяемыми в численных схемах, основанных на эйлеровом и лагранжевом подходах [3; 4]. Покроем расчетную область равномерной эйлеровой (неподвижной) сеткой с пространственным шагом h , где $h_{i,j} = h = \text{const}$ (i и j — пространственные индексы) и $x_{i+1}^0 = x_i^0 + h_i$, $y_{j+1}^0 = y_j^0 + h_j$. Совместим, в начальный момент времени, частицы с ячейками эйлеровой сетки. Число ячеек и частиц равно N .

Введем временные слои $t_{n+1} = t_n + \tau_n$ с неравномерным шагом τ_n . На первом лагранжевом этапе, используя модифицированный в работе [6] SPH-подход, рассчитываем изменения интегральных характеристик и положений частиц, обусловленные действием газодинамических и внешних сил.

Частицы будем характеризовать массой M , импульсом P и энергией E соответственно: $M_{i,j}(t) = \iint_{\Sigma_{i,j}(t)} \rho dx dy$; $P_{i,j}(t) = \iint_{\Sigma_{i,j}(t)} \rho v dx dy$; $E_{i,j}(t) = \iint_{\Sigma_{i,j}(t)} e dx dy$. После лагранжева этапа необходимо вернуть частицы в исходное состояние $\Delta x_i^{n+1} \rightarrow x_i^0$, $\Delta y_j^{n+1} \rightarrow y_j^0$, вычислив при этом изменение интегральных характеристик частиц ($M_{i,j}^{n+1}$, $P_{i,j}^{n+1}$, $E_{i,j}^{n+1}$), вызванное таким перемещением. Именно на эйлеровом этапе возникает нужда использования неподвижной сетки для расчета потоков массы, импульса и энергии на границах ячеек в момент времени $t_{n+1/2} = t_n + \tau_n/2$, обусловленных перетеканием вещества через границы ячеек. Соответствующее изменение интегральных характеристик частиц пропорционально разности втекающих и вытекающих в ячейку потоков. Для расчетов потоков применяется модифицированный в [6] TVD-подход и приближенное решение задачи Римана.

Обратим внимание, что при рассмотрении областей вакуума в соответствующие ячейки помещаются частицы с нулевыми: массой, импульсом и энергией (частицы вакуума). В данном случае для частиц вакуума лагранжев этап LES-ASG метода пропускается, а на эйлеровом этапе при наличии в соседних ячейках частиц с ненулевыми параметрами осуществляется вычисление вытекающих в соответствующую ячейку потоков и определяется изменение интегральных характеристик частиц вакуума. Таким образом, рассматриваемый метод позволяет осуществлять эффективный сквозной рас-

чет в области течения нестационарных границ «вещество — вакуум».

2.1. Лагранжев этап

Введем дополнительную вспомогательную функцию φ , которая удовлетворяет соотношению $p = \varphi^2/2$. Посредством введенной функции преобразуем в уравнениях (2)–(4) величины:

$$\begin{aligned} \frac{\partial p}{\partial x} &= \varphi \frac{\partial \varphi}{\partial x}, & \frac{\partial p}{\partial y} &= \varphi \frac{\partial \varphi}{\partial y}, & \frac{\partial(u p)}{\partial x} &= \frac{u \varphi}{2} \frac{\partial \varphi}{\partial x} + \frac{\varphi}{2} \frac{\partial(u \varphi)}{\partial x}, \\ \frac{\partial(v p)}{\partial y} &= \frac{v \varphi}{2} \frac{\partial \varphi}{\partial y} + \frac{\varphi}{2} \frac{\partial(v \varphi)}{\partial y}. \end{aligned} \quad (5)$$

Необходимость перехода от лагранжева этапа к эйлеровому и обратно требует введения в численный алгоритм величин

$$A_{i,j}(t) = \frac{1}{2h} \left(\iint_{\Sigma_{i,j}(t)} A(x, t) dx dy \right), \quad (6)$$

являющихся аналогом средних значений функции $A = (\rho, \rho u, \rho v, e, p, \varphi, \psi)$ в ячейках, при конечно-объемной аппроксимации на неподвижной сетке.

Подставляя в систему (1)–(4) соотношения (5) и учитывая (6), преобразовав при этом интегральные характеристики частиц с учетом (5), получим

$$\frac{d\mathbf{U}_{i,j}}{dt} = \mathbf{Q}_{i,j}, \quad (7)$$

где

$$\mathbf{U}_{i,j} = \begin{pmatrix} \rho_{i,j} \\ (\rho u)_{i,j} \\ (\rho v)_{i,j} \\ e_{i,j} \end{pmatrix}, \quad f_{i,j}^x = -\frac{\partial \psi}{\partial x}, \quad f_{i,j}^y = -\frac{\partial \psi}{\partial y},$$

$$\mathbf{Q}_{i,j} = - \begin{pmatrix} 0 \\ \varphi_{i,j} \frac{\partial \varphi}{\partial x_i} - \rho_{i,j} f_{i,j}^x \\ \varphi_{i,j} \frac{\partial \varphi}{\partial y_i} - \rho_{i,j} f_{i,j}^y \\ \frac{\varphi_{i,j}}{2} \left(u_{i,j} \frac{\partial \varphi}{\partial x_i} + \frac{\partial(u \varphi)}{\partial x_i} + v_{i,j} \frac{\partial \varphi}{\partial y_i} + \frac{\partial(v \varphi)}{\partial y_i} \right) - \\ - (\rho u)_{i,j} f_{i,j}^x - (\rho v)_{i,j} f_{i,j}^y \end{pmatrix},$$

$u_{i,j} = \frac{(\rho u)_{i,j}}{\rho_{i,j}}$ и $v_{i,j} = \frac{(\rho v)_{i,j}}{\rho_{i,j}}$ — скорости центра масс частиц. Значение величины $\varphi_{i,j}$ можно выразить через компоненты вектора консервативных переменных $\mathbf{U}_{i,j}$ в виде

$$\varphi_{i,j} = \sqrt{2p_{i,j}}, \quad (8)$$

где

$$p_{i,j} = (\gamma - 1) \left(e_{i,j} - \frac{u_{i,j}^2 \rho_{i,j}}{2} - \frac{v_{i,j}^2 \rho_{i,j}}{2} \right). \quad (9)$$

Для аппроксимации пространственных производных, входящих в уравнение (7), будем использовать модифицированный SPH-подход со сглаживающим ядром \bar{W} [17; 18]. В качестве сглаживающего ядра будем использовать кубический сплайн Монагана:

$$\bar{W}(q) = \frac{2}{3} \begin{cases} 1 - \frac{3}{2}q^2 + \frac{3}{4}q^3, & 0 \leq q \leq 1; \\ \frac{1}{4}(2 - q)^3, & 1 \leq q \leq 2; \\ 0, & 2 \leq q. \end{cases} \quad (10)$$

$$\bar{W}'(q) = \frac{2}{3} \begin{cases} -3q + \frac{9}{4}q^2, & 0 \leq q \leq 1; \\ -\frac{3}{4}(2 - q)^2, & 1 \leq q \leq 2; \\ 0, & 2 \leq q, \end{cases} \quad (11)$$

где q можно представить как $q_x = \frac{|x_i - x_k|}{h}$ или $q_y = \frac{|y_i - y_k|}{h}$. Исходя из соотношения (10) и (11), следует, что

$$\frac{\partial \bar{W}_{i,k}}{\partial x_i} = \frac{\partial \bar{W}(q)}{\partial q} \frac{\partial q}{\partial x} = \bar{W}'(q) \frac{\text{sign}(x_i - x_k)}{h}, \quad (12)$$

$$\frac{\partial \bar{W}_{j,k}}{\partial y_j} = \frac{\partial \bar{W}(q)}{\partial q} \frac{\partial q}{\partial y} = \bar{W}'(q) \frac{\text{sign}(y_j - y_k)}{h}, \quad (13)$$

где

$$\bar{W}_{i,k} = \bar{W}(|x_i - x_k|, h) \quad : \quad \bar{W}_{i,k}^0 = \bar{W}(|x_i^0 - x_k^0|, h), \quad (14)$$

$$\bar{W}_{k,j} = \bar{W}(|y_j - y_k|, h) \quad : \quad \bar{W}_{j,k}^0 = \bar{W}(|y_j^0 - y_k^0|, h). \quad (15)$$

Заменяя входящие в уравнение (7) пространственные производные конечными суммами, содержащими аналитически вычисляемые производные от сглаживающего ядра \bar{W} , получим

$$\mathbf{Q}_{i,j} = - \left[\begin{array}{c} 0 \\ \varphi_{i,j} \sum_{k=i-1}^{i+1} \left\{ \varphi_{k,j} \frac{\partial \bar{W}_{i,k}}{\partial x_i} + \frac{\rho_{i,j}}{\varphi_{i,j}} \psi_{k,j} \frac{\partial \bar{W}_{i,k}^0}{\partial x_i} \right\} \\ \varphi_{i,j} \sum_{k=j-1}^{j+1} \left\{ \varphi_{i,k} \frac{\partial \bar{W}_{j,k}}{\partial y_j} + \frac{\rho_{i,j}}{\varphi_{i,j}} \psi_{i,k} \frac{\partial \bar{W}_{j,k}^0}{\partial y_j} \right\} \\ \varphi_{i,j} \sum_{k=i-1}^{i+1} \left\{ \varphi_{k,j} \frac{u_{i,j} + u_{k,j}}{2} \frac{\partial \bar{W}_{i,k}}{\partial x_i} + \frac{(\rho u)_{i,j}}{\varphi_{i,j}} \psi_{k,j} \frac{\partial \bar{W}_{i,k}^0}{\partial x_i} \right\} + \\ + \varphi_{i,j} \sum_{k=j-1}^{j+1} \left\{ \varphi_{i,k} \frac{v_{i,j} + v_{i,k}}{2} \frac{\partial \bar{W}_{j,k}}{\partial y_i} + \frac{(\rho v)_{i,j}}{\varphi_{i,j}} \psi_{i,k} \frac{\partial \bar{W}_{j,k}^0}{\partial y_i} \right\} \end{array} \right]. \quad (16)$$

На шаге «предиктор» находим методом ломаных промежуточные значения $\tilde{\mathbf{U}}_{i,j}^*$ в

момент времени $t_{n+1} = t_n + \tau_n$

$$\tilde{\mathbf{U}}_{i,j}^* = \mathbf{U}_{i,j}^n + \frac{\tau_n}{2h} \begin{pmatrix} 0 \\ -\varphi_{i,j}(\varphi_{i+1,j} - \varphi_{i-1,j}) - \rho_{i,j}(\psi_{i+1,j} - \psi_{i-1,j}) \\ -\varphi_{i,j}(\varphi_{i,j+1} - \varphi_{i,j-1}) - \rho_{i,j}(\psi_{i,j+1} - \psi_{i,j-1}) \\ \varphi_{i,j} \left(\varphi_{i+1,j} \frac{u_{i,j} + u_{i+1,j}}{2} - \varphi_{i-1,j} \frac{u_{i,j} + u_{i-1,j}}{2} \right) - \\ -\varphi_{i,j} \left(\varphi_{i,j+1} \frac{v_{i,j} + v_{i,j+1}}{2} - \varphi_{i,j-1} \frac{v_{i,j} + v_{i,j-1}}{2} \right) - \\ -(\rho u)_{i,j}(\psi_{i+1,j} - \psi_{i-1,j}) - (\rho v)_{i,j}(\psi_{i,j+1} - \psi_{i,j-1}) \end{pmatrix}, \quad (17)$$

знак «~» над вектором консервативных переменных $\mathbf{U}_{i,j}$ означает, что центр масс частиц смещен относительно исходного положения. На шаге «корректор» по наклону интегральной кривой в точке $\tilde{\mathbf{U}}_{i,j}$ и вычисляем приращение значений $\mathbf{U}_{i,j}$ и на временном слое $t_{n+1} = t_n + \tau_n$:

$$\begin{aligned} \tilde{\mathbf{U}}_{i,j}^{n+1} &= \frac{\mathbf{U}_{i,j}^n + \tilde{\mathbf{U}}_{i,j}^*}{2} + \frac{\tau_n}{2} \mathbf{Q}_{i,j}(\tilde{\mathbf{U}}_{i,j}^*, x_k^*, y_k^*), \\ \Delta x_{i,j}^* &= \tau_n \frac{u_{i,j}^n + u_{i,j}^*}{2}, \\ \Delta y_{i,j}^* &= \tau_n \frac{v_{i,j}^n + v_{i,j}^*}{2}. \end{aligned} \quad (18)$$

Таким образом, рекуррентные соотношения (17) и (18) позволяют для момента времени t_{n+1} вычислить интегральные характеристики частиц, движущихся под действием газодинамических и внешних сил.

2.2. Эйлерав этап

На эйлеровом этапе вычисляются потоки массы, импульса и энергии, обусловленные перемещением жидкости через границы ячеек, в момент времени $t_{n+1/2} = t_n + \tau_n/2$. На данном этапе находится приближенное решение задачи Римана. Разность втекающих и вытекающих в ячейки потоков позволяет определить изменения характеристических «жидких» частиц, рассчитанных на предыдущем этапе в момент времени $t_{n+1} = t_n + \tau_n$ [14]. Представляя (1)–(4) в дифференциальной форме, а затем в консервативной эйлеровой форме при отсутствии сил газодинамического давления, получим:

$$\frac{\partial \mathbf{U}}{\partial t} + \frac{\partial \mathbf{F}}{\partial x} + \frac{\partial \mathbf{G}}{\partial y} = 0. \quad (19)$$

Применив стандартную процедуру конечно-разностной аппроксимации к уравнению (19), для i, j -й ячейки получим соотношение:

$$\mathbf{U}_{i,j}^{n+1} = \tilde{\mathbf{U}}_{i,j}^{n+1} - \frac{\tau_n}{h} \left(\mathbf{F}_{i+1/2}^{n+1/2} - \mathbf{F}_{i-1/2}^{n+1/2} \right) - \frac{\tau_n}{h} \left(\mathbf{G}_{j+1/2}^{n+1/2} - \mathbf{G}_{j-1/2}^{n+1/2} \right), \quad (20)$$

где значения $\tilde{\mathbf{U}}_{i,j}^{n+1}$ вычисляются на лагранжевом этапе по формуле (17), а значения потоков на границах ячеек $\mathbf{F}_{i\pm 1/2}^{n+1/2} = \mathbf{F}(\mathbf{U}_{i\pm 1/2,j}^{n+1/2})$ и $\mathbf{G}_{j\pm 1/2}^{n+1/2} = \mathbf{G}(\mathbf{U}_{i,j\pm 1/2}^{n+1/2})$ находятся

из приближенных решений задачи Римана. Для подавления нефизических осцилляций и обеспечения монотонности профилей сеточных величин на потоках накладывается функция-ограничитель.

Задача Римана решается отдельно для каждой из границ эйлеровых ячеек. При этом в качестве начальных условий необходимо задать слева (L) и справа (R) от рассматриваемой границы значения параметров потока, которые определяют величину скачка и могут быть получены на основе кусочно-полиномиальной реконструкции функции $\mathbf{U}(x, y, t)$. От порядка реконструкции зависит точность численного алгоритма. В настоящей работе ограничимся рассмотрением случая кусочно-линейной реконструкции, обеспечивающей численной схеме второй порядок точности по пространству.

Запишем выражения для $\mathbf{U}(x, y, t)$ слева (L) и справа (R) от границы $x_{i+1/2,j}^0$ и $y_{i,j+1/2}^0$:

$$\begin{aligned} \mathbf{U}_{i+1/2,j}^L &= \tilde{\mathbf{U}}_{i,j}^{n+1/2} + \left(\frac{h}{2} - \frac{\Delta x_{i,j}^{n+1}}{2} \right) \Theta_{x^{i,j}}^n, \\ \mathbf{U}_{i+1/2,j}^R &= \tilde{\mathbf{U}}_{i+1,j}^{n+1/2} - \left(\frac{h}{2} + \frac{\Delta x_{i,j}^{n+1}}{2} \right) \Theta_{x^{i,j+1}}^n, \end{aligned} \quad (21)$$

$$\begin{aligned} \mathbf{U}_{i,j+1/2}^L &= \tilde{\mathbf{U}}_{i,j}^{n+1/2} + \left(\frac{h}{2} - \frac{\Delta y_{i,j}^{n+1}}{2} \right) \Theta_{y^{i,j}}^n, \\ \mathbf{U}_{i,j+1/2}^R &= \tilde{\mathbf{U}}_{i,j+1}^{n+1/2} - \left(\frac{h}{2} + \frac{\Delta y_{i,j}^{n+1}}{2} \right) \Theta_{y^{i,j+1}}^n, \end{aligned} \quad (22)$$

где

$$\begin{aligned} \Delta x_{i,j}^{n+1} &= \frac{\Delta x_{i,j}^*}{2} + \frac{\tau_n u_i^n + \tilde{u}_i^{n+1}}{2}, \\ \Delta y_{i,j}^{n+1} &= \frac{\Delta y_{i,j}^*}{2} + \frac{\tau_n v_j^n + \tilde{v}_j^{n+1}}{2}. \end{aligned} \quad (23)$$

Наклоны кусочно-линейного распределения (21) и (22) должны удовлетворять TVD-условию [12]. Для этого воспользуемся функцией-ограничителем [20]

$$\Theta_{x^{i,j}}^n = \mathcal{L} \left(\frac{\mathbf{U}_{i+1,j}^n - \mathbf{U}_{i,j}^n}{h}, \frac{\mathbf{U}_{i,j}^n - \mathbf{U}_{i-1,j}^n}{h} \right), \quad (24)$$

$$\Theta_{y^{i,j}}^n = \mathcal{L} \left(\frac{\mathbf{U}_{i,j+1}^n - \mathbf{U}_{i,j}^n}{h}, \frac{\mathbf{U}_{i,j}^n - \mathbf{U}_{i,j-1}^n}{h} \right). \quad (25)$$

В качестве функции ограничителя, подавляющего нефизические осцилляции вблизи разрывов, могут применяться, например, ограничитель *minmod* [19]

$$\mathcal{L}(a, b) = \frac{1}{2} [\text{sign}(a) + \text{sign}(b)] \min(|a|, |b|), \quad (26)$$

ограничитель ван Лира [15; 16]

$$\mathcal{L}(a, b) = \begin{cases} \frac{2ab}{a+b}, & ab > 0, \\ 0, & ab \leq 0, \end{cases} \quad (27)$$

ограничитель ван Альбады [8]

$$\mathcal{L}(a, b) = \frac{(a^2 + \zeta)b + (b^2 + \zeta)a}{a^2 + b^2 + 2\zeta}, \quad (28)$$

функция *superbee*

$$\begin{aligned} \mathcal{L}(a, b) &= \max(a, b) \max[\min(1, 2\kappa), \text{fmin}(2, \kappa)], \\ \kappa &= \frac{\min(a, b)}{\max(a, b)}, \end{aligned} \quad (29)$$

где a и b — вектора наклонов \mathbf{Q} распределения величины \mathbf{U} внутри ячейки; ζ — малая константа. Перечисленные ограничители (26)–(29) удовлетворяют TVD-условию, ограничитель minmod (26), кроме того, сохраняет монотонность реконструируемой функции.

С учетом (21), (22) и методов приближенного решения задачи Римана (LF, HLL, HLLC) [21], можно вычислить значения потоков $\mathbf{F}_{i\pm 1/2}^{n+1/2}$ и $\mathbf{G}_{j\pm 1/2}^{n+1/2}$, входящих в уравнение (20). Рассмотрим значение потоков $\mathbf{F}_{i\pm 1/2}^{n+1/2}$, введем следующие обозначения

$$\mathbf{U}_{L,R} = \mathbf{U}_{i\pm 1/2}^{L,R}, \quad \mathbf{F}_{L,R} = \mathbf{F}(\mathbf{U}_{L,R}),$$

тогда для потоков на границах ячеек, используя метод Лакса — Фридрихса (LF), имеем [9]:

$$\mathbf{F}_{i\pm 1/2}^{n+1/2} = \frac{\mathbf{F}_L + \mathbf{F}_R}{2} + S_* \frac{\mathbf{U}_L - \mathbf{U}_R}{2}, \quad (30)$$

где

$$\mathbf{F}_{L,R} = \begin{pmatrix} \rho_{L,R} u_{L,R} \\ \rho_{L,R} u_{L,R}^2 + p_{L,R} \\ \rho_{L,R} u_{L,R} v_{L,R} \\ u_{L,R} (e_{L,R} + p_{L,R}) \end{pmatrix},$$

$S_* = \max(|S_L|, |S_R|)$ — скорость распространения единственного разрыва, разделяющего две области с постоянными значениями \mathbf{U}_L , \mathbf{U}_R . Для минимальной S_L и максимальной S_R скоростей распространения волн внутри ячейки справедливы оценки [10; 11]

$$S_L = \min(u_L - c_L, u_R - c_R), \quad S_R = \max(u_L + c_L, u_R + c_R),$$

где $u_{L,R} = \frac{(\rho u)_{L,R}}{\rho_{L,R}}$, $c_{L,R} = \sqrt{\frac{\gamma p_{L,R}}{\rho_{L,R}}}$ — адиабатическая скорость звука в газе; $p_{L,R} = (\gamma - 1) \left(e_{L,R} - \frac{u_{L,R}^2 \rho_{L,R}}{2} - \frac{v_{L,R}^2 \rho_{L,R}}{2} \right)$. Аналогично находим значения потоков $\mathbf{G}_{j\pm 1/2}^{n+1/2}$, используя вместо основного пространственного индекса i индекс j .

В методе HLL значения потоков для уравнения (20) определяются по системе, представленной ниже [13]

$$\mathbf{F}_{i\pm 1/2}^{n+1/2} = \begin{cases} \mathbf{F}_L, & 0 < S_L; \\ \frac{S_R \mathbf{F}_L - S_L \mathbf{F}_R + S_L S_R (\mathbf{U}_L - \mathbf{U}_R)}{S_R - S_L}, & S_L \leq 0 \leq S_R; \\ \mathbf{F}_R, & 0 > S_R. \end{cases} \quad (31)$$

Значения S_L и S_R вычисляются аналогично методу LF.

Метод HLLC предполагает расчет потоков исходя из системы

$$\mathbf{F}_{i\pm 1/2}^{n+1/2} = \begin{cases} \mathbf{F}_L, & S_L > 0; \\ \mathbf{F}_R, & S_R < 0; \\ \Omega(\mathbf{F}_{i\pm 1/2}^{n+1/2}), & S_C \geq 0; \\ \tilde{\Omega}(\mathbf{F}_{i\pm 1/2}^{n+1/2}), & S_C < 0. \end{cases} \quad (32)$$

Значение $\Omega(\mathbf{F}_{i\pm 1/2}^{n+1/2})$ находим через

$$\Omega(\mathbf{F}_{i\pm 1/2}^{n+1/2}) = \begin{pmatrix} B_1 \\ B_2 \\ B_3 \\ B_4 \end{pmatrix}, \quad (33)$$

где

$$\begin{aligned} B_1 &= \frac{S_C(S_L \rho_L - \mathbf{F}_L)}{S_L - S_C}, & B_3 &= \frac{S_C(S_L(\rho v)_L - \mathbf{F}_L)}{S_L - S_C}, \\ B_2 &= \frac{S_C(S_L(\rho u)_L - \mathbf{F}_L) + S_L(p_L + \rho_L(S_L - u_L)(S_C - u_L))}{S_L - S_C}, \\ B_4 &= \frac{S_C(S_L e_L - \mathbf{F}_L) + S_L(p_L + \rho_L(S_L - u_L)(S_C - u_L))S_C}{S_L - S_C}. \end{aligned}$$

Значение $\tilde{\Omega}(\mathbf{F}_{i\pm 1/2}^{n+1/2})$ находим через

$$\tilde{\Omega}(\mathbf{F}_{i\pm 1/2}^{n+1/2}) = \begin{pmatrix} D_1 \\ D_2 \\ D_3 \\ D_4 \end{pmatrix}, \quad (34)$$

где

$$\begin{aligned} D_1 &= \frac{S_C(S_R \rho_R - \mathbf{F}_R)}{S_R - S_C}, & D_3 &= \frac{S_C(S_R(\rho v)_R - \mathbf{F}_R)}{S_R - S_C}, \\ D_2 &= \frac{S_C(S_R(\rho u)_R - \mathbf{F}_R) + S_R(p_R + \rho_R(S_R - u_R)(S_C - u_R))}{S_R - S_C}, \\ D_4 &= \frac{S_C(S_R e_R - \mathbf{F}_R) + S_R(p_R + \rho_R(S_R - u_R)(S_C - u_R))S_C}{S_R - S_C}. \end{aligned}$$

В отличие от HLL нам потребуется еще найти S_C

$$S_C = \frac{p_R - p_L + \rho_L u_L(S_L - u_L) - \rho_R u_R(S_R - u_R)}{\rho(S_L - u_L) - \rho_R(S_R - u_R)}, \quad (35)$$

где S_L и S_R вычисляются по формулам

$$\begin{aligned} S_L &= u_L - c_L \alpha(p_L, p_C), \\ S_R &= u_R - c_R \alpha(p_R, p_C), \\ \alpha(a, b) &= \begin{cases} 1, & b \leq a; \\ \sqrt{1 + \frac{1 + \gamma}{2\gamma} \left(\frac{b}{a} - 1\right)}, & b > a. \end{cases} \end{aligned} \quad (36)$$

Акустическое приближение давления p_C находится как

$$p_C = \max \left(0, \frac{1}{2} \left(p_L + p_R - \frac{1}{4} (u_R - u_L) (\rho_L + \rho_R) (c_L + c_R) \right) \right). \quad (37)$$

2.3. Условия устойчивости

Для устойчивости численной схемы LES-ASG необходимо, чтобы за время интегрирования τ_n :

1) на лагранжевом этапе центр масс частиц смещался на расстояние, не превышающее $h/2$ относительно начального положения;

2) на эйлеровом этапе возмещения распространялись на расстояние, меньшее размера ячейки h .

С учетом этих условий, временной шаг τ_n для алгоритма LES-ASG должен определяться из условий:

$$\tau_n = K \min_{i,j} \left(\frac{h}{|u_{i,j}| + c_{i,j}}, \frac{h}{|v_{i,j}| + c_{i,j}} \right), \quad (38)$$

где $0 < K < 1$ — число Куранта; c — адиабатическая скорость звука в газе.

3. Проведение вычислительных экспериментов

Проведем несколько различных тестов. В качестве ограничителя используем *min-mod*, а для приближенного решения задачи Римана будем использовать метод LF.

Рассмотрим тест (А) для сгустка плотности в виде окружности на квадратной расчетной области с размерностью $N = 10^2$. В качестве начальных значений: показатель адиабаты $\gamma = 1,4$; в областях задается однородная плотность $\rho(x, y) = 1$; $u(x, y) = 0$; $v(x, y) = 0$; x и $y \in [0, 1]$, а энергия:

$$e(x, y) = \begin{cases} \frac{\rho}{10\gamma}, & R^2 < \frac{N}{5}; \\ \frac{\rho}{\gamma}, & R^2 \geq \frac{N}{5}, \end{cases}$$

где R — это радиус отклонения от центра расчетной области. На рисунках 3–8 представлены результаты эксперимента.

Рассмотрим тест (В) о взаимодействии двух взрывных волн, который был применен Вудвартом [22] и Колеллой для изучения свойств численной схемы PPMLR годуновского типа, реализующий счет давления на лагранжевом этапе [22]. Начальное состояние состоит из трех областей, с показателем адиабаты $\gamma = 1,4$ и ограниченных твердыми стенками. В областях задается однородная плотность $\rho(x, y) = 1$, $u(x, y) = 0$, $v(x, y) = 0$, x и $y \in [0, 1]$, а разрыв по давлению:

$$p(x, y) = \begin{cases} 1000, & 0 \leq q \leq 1; \\ 0,01, & 0,1 \leq x \leq 0,9; \\ 100, & 0,9 < x \leq 1. \end{cases}$$

В результате формируются две сильные сходящиеся ударные волны. На рисунке 9 показана динамика взаимодействия двух взрывных волн для расчетной области $N = 400$.

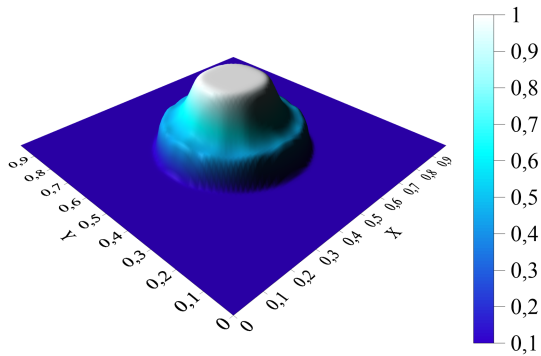


Рис. 3. Тест А, распределение давления после 10-й расчетной итерации

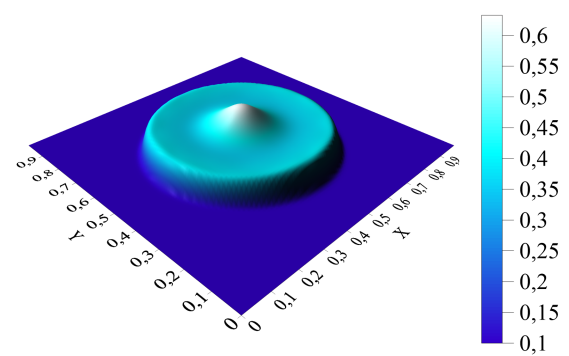


Рис. 4. Тест А, распределение давления после 30-й расчетной итерации

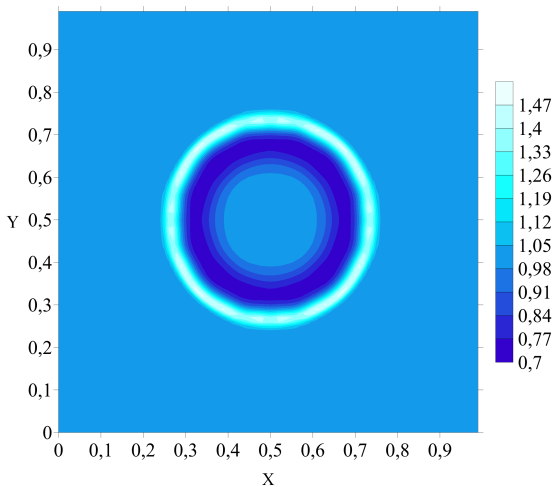


Рис. 5. Тест А, распределение плотности после 10-й расчетной итерации

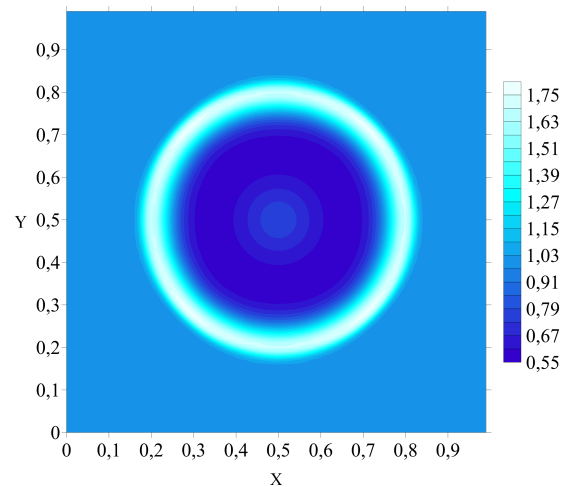


Рис. 6. Тест А, распределение плотности после 30-й расчетной итерации

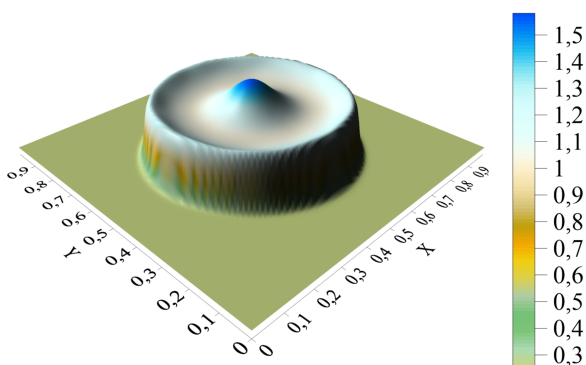


Рис. 7. Тест А, распределение энергии после 30-й расчетной итерации

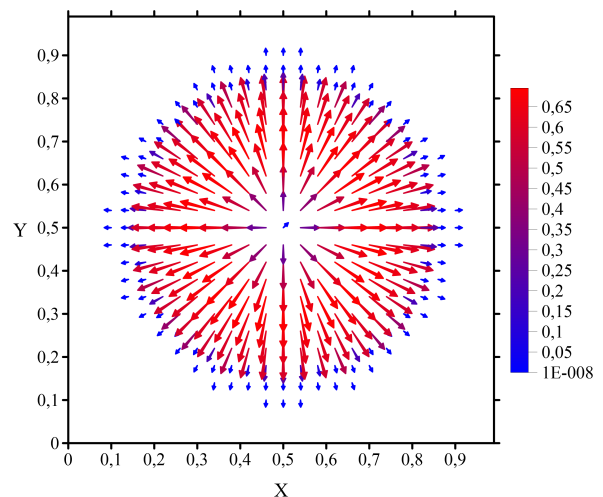


Рис. 8. Тест А, поле скоростей после 30-й расчетной итерации

Рассмотрим тест (С), в котором смоделируем задачу Римана о распаде произвольного разрыва. Зададим начальные условия для квадратной расчетной области размером

$N = 10^3$, с левой границы от разрыва $\rho_L = 1, p_L = 1$ и с правой границы от разрыва $\rho_R = 1, p_R = 0,1$, распределение скоростей u и v нулевые на всей расчетной области. Показатель адиабаты $\gamma = 1,4$. Данный тест применяется для оценки устойчивости численной схемы при моделировании сильных ударных волн. Решение состоит из сильной ударной волны, контактной волны и левой волны разряжения. На рисунках 10 и 11 представлены профильные разрезы давления и плотности. Функция-ограничитель *minmod* позволяет получить профиль наиболее приближенным к монотонному, при этом масштабы численной размазки получаются более существенными.

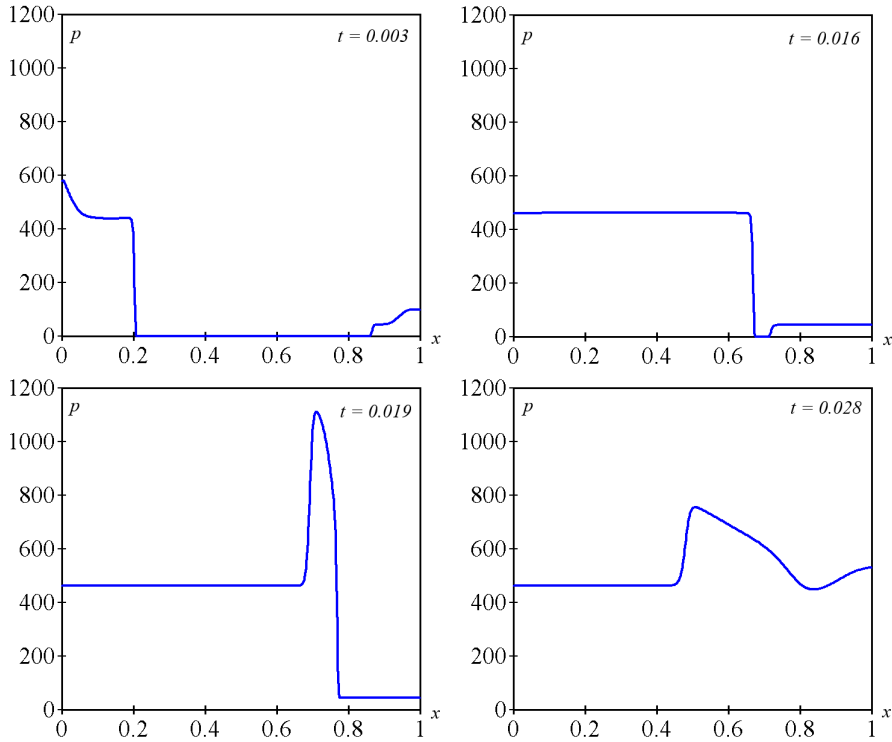


Рис. 9. Тест В, динамика взаимодействия двух взрывных волн для $N = 400$: графики распределения давления $p(x, N/2)$ в разрезе по центру расчетной области, вдоль движения волн

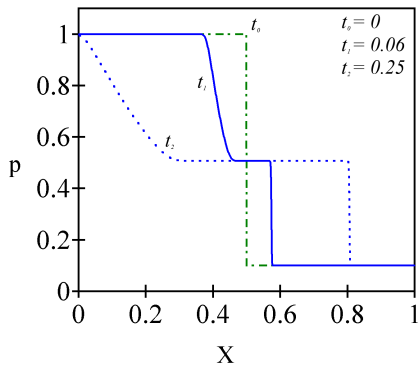


Рис. 10. Тест С, распределение давления при моделировании распада произвольного разрыва

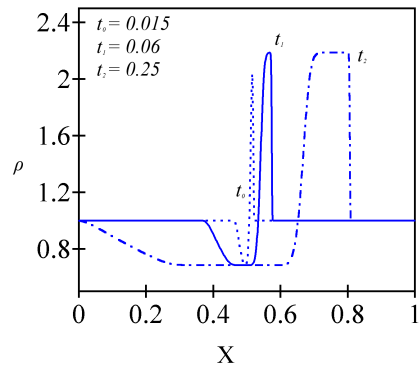


Рис. 11. Тест С, распределение плотности при моделировании распада произвольного разрыва

В работе [1] проводилось сравнение погрешностей численных схем LES-ASG и MUSCL с использованием кусочно-линейной и кусочно-постоянной реконструкции. В качестве основного теста рассматривалось решение уравнения переноса с неоднородным распределением скорости. В таблице приведены результаты эксперимента.

Погрешность вычислений схем MUSCL и LES-ASG [1]

N	Кусочно-постоянная реконструкция		Кусочно-линейная реконструкция	
	MUSCL	LES	MUSCL	LES
300	$7,5455 \times 10^{-2}$	$7,5451 \times 10^{-2}$	$2,0163 \times 10^{-2}$	$1,0191 \times 10^{-2}$
600	$4,2171 \times 10^{-2}$	$4,2169 \times 10^{-2}$	$5,7162 \times 10^{-3}$	$5,7275 \times 10^{-3}$
1200	$2,2633 \times 10^{-2}$	$2,2633 \times 10^{-2}$	$2,6335 \times 10^{-3}$	$2,6309 \times 10^{-3}$
2400	$1,1818 \times 10^{-2}$	$1,1818 \times 10^{-2}$	$1,2402 \times 10^{-3}$	$1,2411 \times 10^{-3}$
4800	$6,0794 \times 10^{-3}$	$6,0794 \times 10^{-3}$	$5,9244 \times 10^{-4}$	$5,9223 \times 10^{-4}$
9600	$3,0903 \times 10^{-3}$	$3,0903 \times 10^{-3}$	$2,7158 \times 10^{-4}$	$2,7163 \times 10^{-4}$

Заключение

По результатам численных экспериментов с использованием схемы LES-ASG, для моделирования газодинамических течений, можно сделать вывод, что модификация схемы cSPH-TVD проведена успешно. Возмущения, которые возникали в угловых ячейках при использовании cSPH-TVD-метода, значительно уменьшены и профиль сечения имеет более гладкое распределение. Сравнивая результаты вычислений с использованием метода LES-ASG и MUSCL, можно с уверенностью говорить о схожести точности численных схем [1]. В дальнейшем численная схема LES-ASG будет использована для создания программного комплекса, нацеленного на моделирование газодинамических течений, который в будущем можно задействовать как основу для развития и создания более сложных и точных модулей, нацеленных на моделирование газодинамических течений.

ПРИМЕЧАНИЕ

¹ Работа выполнена при поддержке грантов РФФИ № 15-45-02655, № 15-47-02642, № 15-02-06204, № 14-07-97030.

СПИСОК ЛИТЕРАТУРЫ

1. Белоусов, А. В. Разработка программы для численного газодинамического моделирования на основе лагранжево-эйлеровой схемы LES-ASG / А. В. Белоусов, С. С. Храпов // Вестник Волгоградского государственного университета. Серия 1, Математика. Физика. — 2015. — № 1 (26). — С. 30–39.
2. Жумалиев, А. Г. Численная схема cSPH-TVD: моделирование фронта ударной волны / А. Г. Жумалиев, С. С. Храпов // Вестник Волгоградского государственного университета. Серия 1, Математика. Физика. — 2012. — № 16. — С. 24–27.
3. Еремин, М. А. Конечно-объемная схема интегрирования уравнений гидродинамики / М. А. Еремин, А. В. Хоперсков, С. А. Хоперсков // Изв. Волгогр. гос. техн. ун-та. —

2010. — № 6:8. — С. 24–27.

4. Кузьмин, Н. М. Численное моделирование эволюции неустойчивых мод джетов, выходящих из молодых звездных объектов / Н. М. Кузьмин, В. В. Мусцовой, С. С. Храпов // *Астрон. журн.* — 2007. — № 84:12. — С. 1089–1098.

5. Куликовский, А. Г. Математические вопросы численного решения гиперболических систем уравнений / А. Г. Куликовский, Н. В. Погорелов, А. Ю. Семенов. — М. : ФИЗМАТЛИТ, 2001. — 656 с.

6. Численная схема для моделирования динамики поверхностных вод на основе комбинированного SPH-TVD-подхода / С. С. Храпов, А. В. Хоперсков, Н. М. Кузьмин, А. В. Писарев, И. А. Кобелев // *Вычислительные методы и программирование.* — 2011. — Т. 12, № 1. — С. 282–297.

7. Численная схема CSPH-TVD: исследование влияния ограничителей наклонов / Н. М. Кузьмин, А. В. Белоусов, Т. С. Шушкевич, С. С. Храпов // *Вестник Волгоградского государственного университета. Серия 1, Математика. Физика.* — 2014. — № 1 (20). — С. 22–34.

8. Albada, G. D. van. A comparative study of computational methods in cosmic gas dynamics / G. D. van Albada, B. van Leer, W. W. Roberts // *Astron. Astrophys.* — 1982. — P. 76–84.

9. Courant, R. On the solution of nonlinear hyperbolic differential equations by finite differences / R. Courant, E. Isaacson, M. Rees // *Comm. Pure.* — 1952. — P. 243–255.

10. Davis, S. F. Simplified Second-Order Godunov-Type Methods / S. F. Davis // *SIAM J. Sci. Stat. Comput.* — 1988. — P. 445–473.

11. Einfeldt, B. On Godunov-Type Methods for Gas Dynamics / B. Einfeldt // *SIAM J. Numer. Anal.* — 1988. — P. 294–318.

12. Harten, A. High Resolution Schemes for Hyperbolic Conservation Laws / A. Harten // *J. Comput. Phys.* — 1983. — P. 357–393.

13. Harten, A. On upstream differencing and Godunov type methods for hyperbolic conservation laws / A. Harten, P. Lax, B. van Leer // *SIAM review.* — 1983. — P. 35–61.

14. Hudson, J. Numerical techniques for conservation laws with source terms / J. Hudson // *PhD Thesis.* — Reading : University of Reading, 1998. — P. 1–118.

15. Leer, B. van. Towards the Ultimate Conservative Difference Scheme II. Monotonicity and Conservation Combined in a Second Order Scheme / B. van Leer // *J. Comput. Phys.* — 1974. — P. 361–370.

16. Leer, B. van. Towards the Ultimate Conservation Difference Scheme V. A Second Order Sequel to Godunov's Method / B. van Leer // *J. Comput. Phys.* — 1979. — P. 110–136.

17. Monaghan, J. J. Simulating free surface flows with SPH / J. J. Monaghan // *Comput. Phys.* — 1994. — P. 399–406.

18. Monaghan, J. J. Smoothed Particle Hydrodynamics / J. J. Monaghan // *Annual Review of Astronomy and Astrophysics.* — 1992. — P. 543–574.

19. Roe, P. L. Some Contributions to the Modelling of Discontinuous Flows / P. L. Roe // *Proceedings of the SIAM/AMS Seminar.* — 1983. — P. 163–193.

20. Sweby, P. K. High Resolution Schemes Using Flux Limiters for Hyperbolic Conservation Laws / P. K. Sweby // *SIAM J.* — 1984. — P. 995–1011.

21. Toro, E. F. Restoration of the Contact Surface in the HLL / E. F. Toro, M. Spruce, W. Speares // *Shock Waves.* — 1994. — P. 25–34.

22. Woodward, P. The Numerical Simulation of Two-Dimensional Fluid Flow with Strong Shocks / P. Woodward, P. Colella // *J. Comput. Phys.* — 1984. — P. 115–173.

REFERENCES

1. Belousov A.V., Khrapov S.S. Razrabotka programmy dlya chislennoy gazodinamicheskogo modelirovaniya na osnove lagranzhevo-eylerovoy skhemy LES-ASG [Development of the Program for Numerical Gasdynamic Modeling on the Basis of Lagrange —

Euler Scheme the LES — ASG]. *Vestnik Volgogradskogo gosudarstvennogo universiteta. Seriya 1, Matematika. Fizika* [Science Journal of Volgograd State University. Mathematics. Physics], 2015, no. 1 (26), pp. 30-39.

2. Zhumaliev A.G., Khrapov S.S. Chislennaya skhema cSPH-TVD: modelirovaniye fronta udarnoy volny [A Numerical Scheme Based on the Combined SPH-TVD Approach: Simulation of the Shock Front]. *Vestnik Volgogradskogo gosudarstvennogo universiteta. Seriya 1, Matematika. Fizika* [Science Journal of Volgograd State University. Mathematics. Physics], 2012, no. 16, pp. 24-27.

3. Eremin M.A., Khoperskov A.V., Khoperskov S.A. Konechno-obyemnaya skhema integrirovaniya uravneniy gidrodinamiki [Finite Volume Scheme of Integration for Hydrodynamics Equations]. *Izv. Volgogr. gos. tekhn. un-ta*, 2010, no. 6:8, pp. 24-27.

4. Kuzmin N.M., Mustsevoy V.V., Khrapov S.S. Chislennoe modelirovaniye evolyutsii neustoychivyykh mod dzhetov, vykhodyashchikh iz molodykh zvezdnykh obyektov [Numerical Modeling of the Evolution of Unstable Modes of Jets From Young Stellar Objects]. *Astron. zhurn.* [Astronomy Reports], 2007, no. 84:12, pp. 1089-1098.

5. Kulikovskiy A.G., Pogorelov N.V., Semenov A.Yu. *Matematicheskie voprosy chislennogo resheniya giperbolicheskikh sistem uravneniy* [Mathematical Problems in the Numerical Solution of Hyperbolic Systems]. Moscow, FIZMATLIT Publ., 2001. 656 p.

6. Khrapov C.C., Khoperskov A.V., Kuzmin N.M., Pisarev A.V., Kobelev I.A. Chislennaya skhema dlya modelirovaniya dinamiki poverkhnostnykh vod na osnove kombinirovannogo SPH-TVD-podkhoda [Numerical Scheme for Modeling the Dynamics of Surface Water Based on the Combined SPH-TVD-Approach]. *Vychislitelnye metody i programmirovaniye*, 2011, vol. 12, no. 1, pp. 282-297.

7. Kuzmin N.M., Belousov A.V., Shushkevich T.S., Khrapov S.S. Chislennaya skhema CSPH-TVD: issledovaniye vliyaniya ogranichiteley naklonov [Numerical Scheme CSPH — TVD: Investigation of Influence Slope Limiters]. *Vestnik Volgogradskogo gosudarstvennogo universiteta. Seriya 1, Matematika. Fizika* [Science Journal of Volgograd State University. Mathematics. Physics], 2014, no. 1 (20), pp. 22-34.

8. Albada G.D. van., Leer B. van., Roberts W.W. A Comparative Study of Computational Methods in Cosmic Gas Dynamics. *Astron. Astrophys.*, 1982, pp. 76-84.

9. Courant R., Isaacson E., Rees M. On the Solution of Nonlinear Hyperbolic Differential Equations By Finite Differences. *Comm. Pure.*, 1952, pp. 243-255.

10. Davis S.F. Simplified Second-Order Godunov-Type Methods. *SIAM J. Sci. Stat. Comput.*, 1988, pp. 445-473.

11. Einfeldt B. On Godunov-Type Methods for Gas Dynamics. *SIAM J. Numer. Anal.*, 1988, pp. 294-318.

12. Harten A. High Resolution Schemes for Hyperbolic Conservation Laws. *J. Comput. Phys.*, 1983, pp. 357-393.

13. Harten A., Lax P., Leer B. van. On Upstream Differencing and Godunov Type Methods for Hyperbolic Conservation Laws. *SIAM review*, 1983, pp. 35-61.

14. Hudson J. Numerical techniques for conservation laws with source terms. *PhD Thesis*, Reading, University of Reading, 1998, pp. 1-118.

15. Leer B. van. Towards the Ultimate Conservative Difference Scheme II. Monotonicity and Conservation Combined in a Second Order Scheme. *J. Comput. Phys.*, 1974, pp. 361-370.

16. Leer B. van. Towards the Ultimate Conservation Difference Scheme V. A Second Order Sequel to Godunov's Method. *J. Comput. Phys.*, 1979, pp. 110-136.

17. Monaghan J.J. Simulating Free Surface Flows with SPH. *Comput. Phys.*, 1994, pp. 399-406.

18. Monaghan J.J. Smoothed Particle Hydrodynamics. *Annual Review of Astronomy and Astrophysics*, 1992, pp. 543-574.

19. Roe P.L. Some Contributions to the Modelling of Discontinuous Flows. *Proceedings of the SIAM/AMS Seminar*, 1983, pp. 163-193.

20. Sweby P.K. High Resolution Schemes Using Flux Limiters for Hyperbolic Conservation Laws. *SIAM J.*, 1984, pp. 995-1011.

21. Toro E.F., Spruce M., Speares W. Restoration of the Contact Surface in the HLL. *Shock*

Waves, 1994, pp. 25-34.

22. Woodward P., Colella P. The Numerical Simulation of Two-Dimensional Fluid Flow with Strong Shocks. *J. Comput. Phys.*, 1984, pp. 115-173.

GASDYNAMIC MODELING ON THE BASIS OF THE LAGRANGIAN AND EULER SCHEME LES-ASG

Anton Vladimirovich Belousov

Student, Institute of Mathematics and IT,
Volgograd State University
anton.belousov.v@mail.ru, math@volsu.ru
Prosp. Universitetsky, 100, 400062 Volgograd, Russian Federation

Sergey Sergeevich Khrapov

Candidate of Physical and Mathematical Sciences, Associate Professor, Department of
Information Systems and Computer Simulation,
Volgograd State University
xss-ip@mail.ru, infomod@volsu.ru
Prosp. Universitetsky, 100, 400062 Volgograd, Russian Federation

Abstract. In this work the numerical scheme LES-ASG which is modification of CSPH-TVD is considered in detail. Formulas of all stages of calculation with use of LF, HLL, HLLC methods for the solution of a task of Riemann are presented. Using LES-ASG it was succeeded to achieve more smooth distribution in comparison with CSPH-TVD. By results of comparison of LES-ASG and MUSCL it is possible to draw a conclusion on similarity of accuracy of numerical schemes. In this paper, compare the two types of solving the transport equation with inhomogeneous distribution of velocity, namely LES (Lagrange — Euler scheme) and MUSCL (Monotonic Upstream-Centered Scheme). According to the research we can assume that the scheme LES and MUSCL is equally well applicable for modeling the transport equation. The numerical scheme LES-ASG will be used as a basis for creation of the program complex aimed at modeling of gasdynamic currents with use of the OpenMP and CUDA technologies.

Key words: numerical schemes, LES, ASG, cSPH-TVD, MUSCL, Lagrangian and Euler scheme.